

Tomasz Goetzendorf-Grabowski

Instytut Techniki Lotniczej i Mechaniki Stosowanej
Politechnika Warszawska

OBLICZANIE POCHODNYCH AERODYNAMICZNYCH SAMOLOTU W ZAKRESIE NADDŹWIĘKOWYM
PRZY ZASTOSOWANIU METODY "PUDELEK MACHA"

Streszczenie. W pracy przedstawiono model fizyczny i matematyczny samolotu w naddźwiękowym przepływie potencjalnym. Pokazano metodę obliczeniową, zwaną metodą "PUDELEK MACHA" oraz wyniki obliczeń pochodnych aerodynamicznych samolotu.

Резюме. В работе представлена физическая и математическая модель самолета в стационарном сверхзвуковом потоке газа. Показан численный метод, названный методом коробков Маха (метод ячеек) и результаты вычисления аэродинамических производных.

Summary. Work contents aircraft physical and mathematical models in supersonic potential flow. Numerical method, called MACH BOX METHOD and calculation results of stability derivatives are presented.

1. WSTĘP

Model przepływu potencjalnego jest obecnie chyba najpowszechniej stosowanym modelem do opisu opływu ciał, gdyż pomimo wielu uproszczeń wyniki uzyskane przy jego zastosowaniu nie odbiegają znacząco od wyników otrzymanych z wykorzystaniem modeli pełniejszych, przy znacznie mniejszym koszcie obliczeń. Metody takie rozwiązywane już od wielu lat, różnią się głównie sposobem generacji siatek (podziału na elementy). Niniejsza praca przedstawia metodę nazwaną roboczo metodą PUDELEK MACHA [1] (ang. MACH BOX lub CHARACTERISTIC BOX [2]) i jej zastosowanie do obliczeń pochodnych aerodynamicznych w zakresie naddźwiękowym.

2. MODEL FIZYCZNY

Przyjmując, zgodnie z [3], że "model fizyczny to znak graficzny plus przyczyna sprawcza" zbudowano model fizyczny samolotu w przepływie nadźwiękowym. Bryłę samolotu zastąpiono jego rzutem na płaszczyznę odpowiednią dla szukanych charakterystyk i podzielono tak, aby można było uwzględnić różnice położenia kąтового elementów samolotu (rys. 1). Konfiguracja samolotu jest zdefiniowana przez współrzędne naroży elementów i wzajemne położenia katowe między elementami podziału logicznego. Przyjęto również szereg założeń dotyczących opływu, sprowadzających zagadnienie do modelu przepływu potencjalnego [1] (płyn nielepki, opływ bezwirowy, płyn nie przewodzi ciepła, równowaga termodynamiczna).

3. MODEL MATEMATYCZNY

Wynikiem modelowania matematycznego jest równanie:

$$(Ma^2 - 1) \frac{\partial^2 \varphi}{\partial x^2} - \frac{\partial^2 \varphi}{\partial y^2} - \frac{\partial^2 \varphi}{\partial z^2} = 0 \quad (1)$$

z warunkami brzegowymi:

- na powierzchni nośnej $\frac{\partial \varphi}{\partial z} = -V_{\infty} \sin \alpha$,
- na krawędzi spływu $\Delta p(x, y)_{TE} = 0$,
- w śladzie wirowym $\partial \varphi(x, y) / \partial x = 0$,
- poza powierzchnią i śladem wirowym $\varphi(x, y) = 0$,

gdzie: φ - potencjał prędkości zaburzeń

Ma - liczba Macha

α - kąt natarcia

Δp - różnica ciśnień między górną i dolną powierzchnią skrzydła.

Rozwiązanie równania (1) przybiera postać:

$$\varphi(x, y, z) = - \frac{1}{\Pi S(x, y, z)} \iint_R \frac{w(\xi, \eta) d\xi d\eta}{R} \quad (2)$$

gdzie

$$w = \frac{\partial \varphi}{\partial z} \Big|_{z=0}, \quad R = \sqrt{(x-\xi)^2 - \beta^2 [(y-\eta)^2 + z^2]}$$

4. METODA "PUDELEK MACHA"

Metoda obliczeniowa sprowadza się do wyznaczenia całki (2) przy znanej prędkości normalnej $w(\xi, \eta)$. W tym celu wprowadzono nowy układ współrzędnych związany z tworzącymi stożka Macha (rys.2)

$$r = (x-\beta y)/\beta, \quad s = (x+\beta y)/\beta \quad (3)$$

Całka (2) w nowych współrzędnych przybiera postać:

$$\varphi(r, s) = - \frac{1}{2\pi} \iint_{S(r, s)} \frac{w(\xi^*, \eta^*) d\xi^* d\eta^*}{R^*} \quad (4)$$

gdzie $R^* = \sqrt{(r-r^*)(s-s^*)}$

Dzielimy powierzchnię całkowania na elementarne kawałki - PUDELKA MACHA prowadząc linie równoległe do tworzących stożka Macha (rys.2). Po przekształceniach dostosowujących zagadnienie do takiego podziału [4] i ubezwymiarowaniu, równanie (4) przybiera postać:

$$\varphi(Lh, Rh) = - \frac{2h}{\pi} \sum_{n=1}^L \sum_{m=1}^R w(nh, mh) B(n, m, L, R) \quad (5)$$

gdzie $B(n, m, L, R) = 1 / \left[(\sqrt{L-n+1} + \sqrt{L-n}) (\sqrt{R-m+1} + \sqrt{R-m}) \right]$

Funkcję $w(nh, mh)$ wyznacza się operując się na warunkach brzegowych:

- dla obszaru powierzchni nośnej - oznaczonej S na rys.2

$$w_s(nh, mh) = -\sin \alpha(x, y) ;$$

- dla obszaru poza powierzchnią nośną i śladem wirowym, oznaczonego δ_d , na lewo od osi OX:

$$w_{dl}(Lh, Rh) = - \sum_{n=1}^{L-1} w(nh, mh) B(n, L) ;$$

na prawo od osi OX:

$$w_{dr}(Lh, Rh) = - \sum_{m=1}^{R-1} w(nh, mh) B(m, R) ;$$

gdzie $B(n,L)=1/(\sqrt{L-n+1}+\sqrt{L-n})$, $B(m,R)=1/(\sqrt{R-m+1}+\sqrt{R-m})$,

- dla śladu wirowego - oznaczonego δ

$$w_{\delta}(L_h, R_h) = -\frac{2h}{\pi} \varphi(L_h, R_h) - \sum_{n=1}^L \sum_{m=1}^R w(nh, mh) B(n, m, L, R),$$

gdzie (L_h, R_h) oznacza element (pudełko) znajdujące się na krawędzi spływu takie, że $L-R = L_h - R_h$, natomiast symbol Σ' oznacza sumę bez elementu (L, R) .

5. WYZNACZANIE POCHODNYCH AERODYNAMICZNYCH

Wiedząc, że współczynnik ciśnienia jest równy [1]:

$$C_p = -\frac{2}{V_{\infty}} \frac{\partial \varphi}{\partial x}, \quad (6)$$

możemy odpowiednio całkując (5) wyznaczyć rozkład ciśnień na powierzchni samolotu. Aby otrzymać konkretne pochodne aerodynamiczne wystarczy wyznaczyć rozkład prędkości normalnej na powierzchni nośnej, a więc lokalny kąt natarcia. Dalej zostanie pokazane wyznaczanie prędkości normalnej dla kilku przykładowych pochodnych aerodynamicznych (dla przypadku z rys. 1B).

Pochodne $\frac{\partial C_z}{\partial \alpha}$, $\frac{\partial C_m}{\partial \alpha}$ (względem kąta natarcia):

- w tym przypadku zakłada się, że kąt natarcia (globalny) jest stały $\alpha(x, y) = \text{const}$, a więc $w_{\delta}(nh, mh) = -\sin(\alpha + \alpha_{z(1)})$ gdzie: $\alpha_{z(1)}$ - kąt zakłaniania 1-tej powierzchni względem powierzchni odniesienia

Pochodne $\frac{\partial C_z}{\partial Q}$, $\frac{\partial C_m}{\partial Q}$ (względem prędkości katowej pochylenia):

- w tym przypadku należy zdefiniować położenie osi obrotu (bieguna) y_1 (rys. 3), a następnie wyznaczyć rozkład prędkości ze wzoru:

$$w_{\delta}(x, y) = \frac{(x-x_1)Q}{V_{\infty}}$$

Pochodna $\frac{\partial C_l}{\partial p}$ (względem prędkości katowej przechylenia):

prędkość normalną wyznaczamy w tym przypadku następująco:

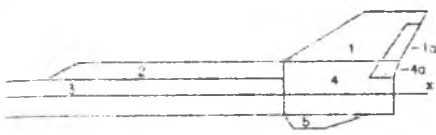
$$w_n(x, y) = \frac{Py}{V_\infty}$$

Podobnie można wyznaczyć pochodne boczne dokonując obliczeń dla przypadku z rys. 1A.

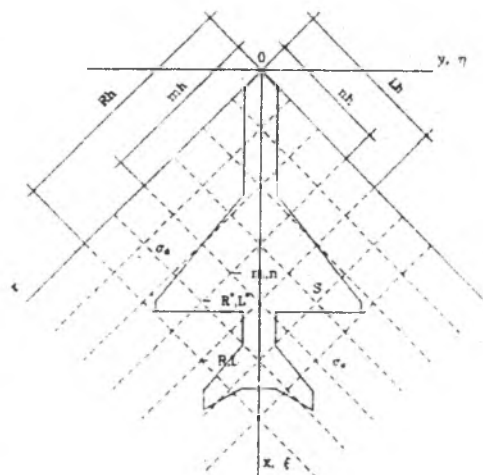
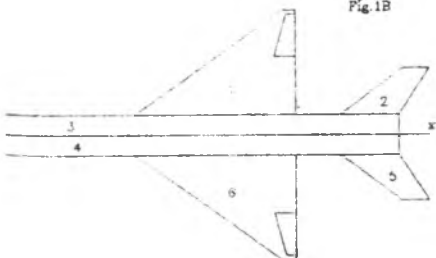
6. WYNIKI OBLICZEŃ

Wyniki obliczeń numerycznych wykazują dobrą zgodność metody z wynikami eksperymentalnymi. Różnice między wynikami obliczeń a danymi z badań eksperymentalnych nie przekroczyły 20% w najgorszym przypadku, średnia błąd nie przekracza 10-12%. Na rys. 4 pokazano przykładowe wyniki obliczeń - pochodną $\partial C_n / \partial R$ (momentu odchylającego względem prędkości katowej odchylania) dla samolotu MiG-21 obliczoną powyższą metodą oraz dla porównania wyniki badań w locie przeprowadzonych w Instytucie Technicznym Wojsk Lotniczych.

Rys. 1A
Fig. 1A

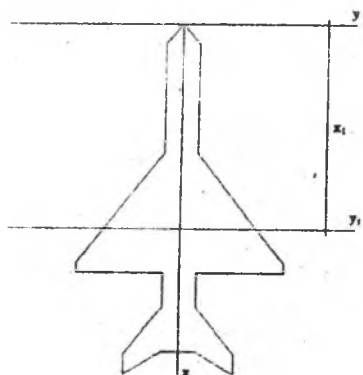


Rys. 1B
Fig. 1B



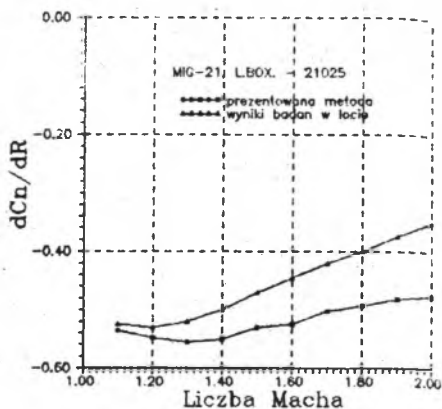
Rys. 1 Układ superelementów
Fig. 1 Configuration of superelements

Rys. 2 Siatka pudełek Macha
Fig. 2 Lattice of Mach boxes



Rys. 3 Położenie bieguny do obliczeń pochodnych kątowych

Fig. 3 Position of pole for angular derivatives calculation



Rys. 4 Bezwymiarowa pochodna momentu odchyłającego względem prędkości kątowej odchylenia w funkcji liczby Macha

Fig. 4 Dimensionless derivate of rolling moment respect to rolling angular velocity as the function of Mach number

LITERATURA

- [1] Goetzendorf-Grabowski T., Pietrucha J.: Modelowanie przepływu naddźwiękowego na potrzeby obliczeń podstawowych charakterystyk aerodynamicznych samolotu, ZN Pol. Śl., ser. Mechanika z. 99, Sympozyj "Modelowanie w Mechanice", Beskid Śląski 1990
- [2] Stark V.J.E.: The Aerial flutter prediction system, Saab Scania AB, Linköping, Sweden, ICAS-90-1.2.3
- [3] Arczewski K., Goraj Z., Pietrucha J.: Elementy modelowania w mechanice, Wyd. Pol. Warsz., Warszawa 1983
- [4] Bielocerkowski S.M., Kudracewa N.A., Popytałow S.A., Tabaczniok B.G.: Issledowanije swierezwukowej aerodinamiki samoletow na EWM, Nauka, Moskwa 1983.

APPLICATION OF MACH-BOX METHOD FOR STABILITY DERIVATES CALCULATION
IN SUPERSONIC FLOW

Work contents physical and mathematical model of aircraft in supersonic potential flow. Aircraft was substituted by projection on plane, suitable to wanted derivatives (Fig.1). Result of these assumptions is equation of potential flow in Laplace form (1), with defined boundary conditions and known solution (2). Presented method shows a way of solving integral form equation (2). New coordinates system ($O_r s$) was defined by formulas (3) - Fig.2; with axis parallel to rulings of Mach cone. Equation (2) has form (4) now. Partition of integrating surface was done according to Fig.2 and equation (5) with unknown potential of disturbing velocity $\varphi(x,y)$ was obtained. There is wanted normal velocity $w(x,y)$ to define now, for calculation stability derivatives. Examples of defining $w(x,y)$ are presented in Chapter 5 in this work. Result of paternal calculation of derivative of rolling moment with respect to rolling angular velocity as the function of Mach number was shown on Fig.4.